

関西大学工学部 正員 西田一彦
関西大学工学部正員 青山千恵

1. まえがき

締固め土は含水比や、締固め仕事量に応じて種々の構造を形成するものとされてゐる。多くの研究者は最適含水比の乾燥はらびに溼潤側で明らかに土粒子配置は異なることを指摘し、それと圧縮性、透水性などの工学的性質との関連性を明らかにしてゐる。しかし、これらの研究は、いずれも土粒子自身の配置に注目したものであり、土壤内の間ゲキ構造に着目したものはない。土の性質は、土粒子の方向性とともに土壤内の土粒子の集合状態や間ゲキ構造にも密接な関係があるものと考えられる。そこで、本報告は、まず水分吸着装置によって土壤の水分吸着特性を明らかにした後、水銀の表面張力を利用したポロシメーターを用いて、締固め過程における間ゲキ径の分布を明らかにしたものである。

2. 試料および実験方法

実験に用いた試料は、宝塚市中山の流紋岩質凝灰岩の風化土で空気乾燥後、 74μ 以下の中ものを供試土として使用した。その基本的性質は、比重2.68、液性限界77.3%、塑性限界46.6%である。また、X線回折ヒート分析の結果、主な含有鉱物は石英、ハロイサイト、結晶度の悪いカオリナイトであった。締固めは、直徑1.4cmのガラス製モルドと重量2.7gのランマーを用い、仕事量は5.6cm³ではあるように落差26.5cm、3層15回で非排水返し法により行なった。図-2に締固め曲線を示す。ここでモルドを極端に小さくしたのは、後述の水分吸着実験と間ゲキ径測定実験に用いる測定容器が非常に小さく、容器におさまる大きさに整形する際、土の構造を乱さないよう考慮したためである。締固め後、試料はそれぞれのモルドに入れ状態で凍結乾燥を行なった。吸着実験には東洋化学K.K製水分吸着装置を使用し、水蒸気圧を飽和蒸気圧まで増大するとその吸着量、ならびに飽和蒸気圧から減圧するときの吸着量を求めた。温度は30°Cと40°Cの2つの場合について行なう。BETプロットにより分子子によろに表面積を算定し、飽和蒸気圧下の最大吸着量を比表面積で割り、平均水膜厚さの算定を行なった。ポロシメーターはCARL OERBA社製AG65を使用した。その原理は、水銀の表面張力(480dyn/cm)が非常に大きく、加圧しなければ毛細管中に侵入しない性質を利用したものである。真空脱気した多孔性物質の細孔内へ水銀の表面張力に打勝ち、水銀を圧入するためには必要な接触圧力をPとし、細孔半径rの円形断面を仮定すると、その関係は次式で表わされる。 $P = -2\gamma / r$ 。ここでγは水銀の表面張力、θは接触角($\theta = 140^\circ$)であるため上式は簡単に $P = 75000 \text{ dyn/cm}^2$ と表わされる。従ってAG65型では、圧力が0.14(MPa)から800(MPa)まで変化あるため、測定孔径の範囲は約 50μ ~ 90\AA である。測定は低圧と高圧の2段階で行なった。低圧測定は、大気圧を貯入圧として利用するもので、図-1のポロシメーター試料容器(ディラトメーター)内を真空状態にした後、水銀を満たし、空気を入れるにつれて水銀面が低下するのをカセットメーターで読み取る方法である。高圧測定は、油圧装置で800MPaまで加圧し、水銀貯入量を電気的に読み取る方法である。水銀貯入試験後、試料中には少々とも大気圧分と水銀高さ分の圧力を保持された水銀が残留するため、偏光装置をとりつけた金属顕微鏡による撮影を行なった。なお、締固め試料は、凍結乾燥、水分吸着実験、間ゲキ径測定実験を通じて、 10^{-3} ~ 10^{-2} torrの真空度で実験されるため、最終の間ゲキ径測定の際、間ゲキ中には構造水を除いて、全く水分はないと考えられる。

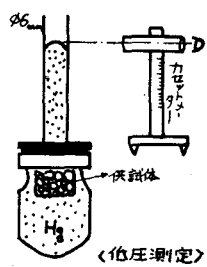


図-1 ディラトメーター

3. 結果

吸着実験結果を図-1に示す。横軸に含水比%とし、縦軸に比表面積、平均水膜厚さ、間ゲキ量をとったものである。図中番号は下図の詳細な曲線の試料番号に対応している。比表面積は最も乾燥側で8m²/gとなり、それより含水比が増すにつれて最高値21m²/gを示すまで増大する。さらに含水比が増すと比表面積は急激に減少を示した後、再び増大し約17m²/gあたりでほぼ一定となり漸次減少していく。次に平均水膜厚さは比表面積とは逆に、最適含水比まで徐々に減少し、最小値13Åを示した後、急に厚くなり約33Åの最高値を示す。さらに含水比が増すと再び薄くなり約15Åあたりで一定となる後、厚くなつてゆく。この様に比表面積、平均水膜厚さとも、最適含水比よりわずかに湿潤側に移行した地殻で急激な変化が見られるることは、透水性にも関連するものと考えられる。

上述の比表面積と平均水膜厚さ、最大吸着量の関係をプロットしたもののが図-3である。図より明らかにほどほど比表面積が増大すると平均水膜厚さが減少する傾向が見られ、従来の結果と同様である。また、比表面積と最大吸着量との関係は比例関係にあるため、図-2において最適含水比よりわずかに湿潤側の地殻では比表面積が減少して最大吸着量も減少していくにもかかわらず平均水膜厚さは厚くなつている。

水銀侵入試験結果を図-1および図-4に示す。まず図-1は、単位重量あたりの間ゲキ量をプロットしたものである。間ゲキ量は、乾燥側より最適含水比まで減少した後、平均水膜厚さが最大となる地殻でわずかに増加し、さらに、含水比が増すと再び減少した後、急激な増加を示す傾向が見られる。これは平均水膜厚さの曲線の傾向と非常によく類似している。次に図-4は、横軸に間ゲキ半径、縦軸に間ゲキ体積率をとった間ゲキ半径加積曲線である。乾燥側においては、大小の間ゲキが一様に分布し、含水比が大きくなるにつれ曲線は上方へ、つまり全体にわたり間ゲキ半径は小さき方へと移行している。ところが、最適含水比になると、中程度(0.1μmから1.0μm)の間ゲキは消失し超ミクロ(0.1μm以下)な間ゲキと粗大(1.0μm以上)な間ゲキに極端に分離する。そして湿潤側では最適含水比よりわずかに大きめの含水比までは超ミクロは間ゲキが増加すると同時に粗大な間ゲキは減少している。さらに含水比が増すと、再び粗大間ゲキが増え、超ミクロな間ゲキが減少してゆく傾向を示している。また、図-1の詳細な曲線において、乾燥密度がほぼ等しくなるNo.3とNo.5を比較した場合、同じ間ゲキを持つ試料でも乾燥側と湿潤側では間ゲキ径の分布が全く異なつてることが明らかである。

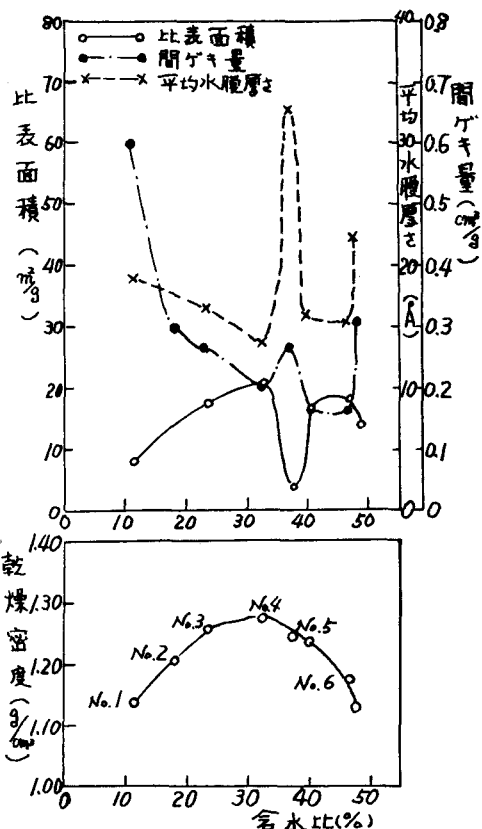


図-2 吸着実験結果(30°C)

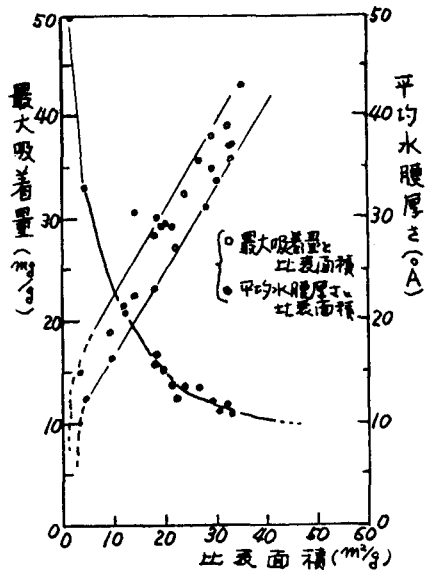


図-3 比表面積と平均水膜厚さ、最大吸着量との関係(30°Cと40°Cについて)

乾燥側、最適含水比 濡潤側の典型的な間ゲキ形写真を写真-1, 2, 3に示す。水銀で満たされた間ゲキは偏光撮影のため黒色に写っている。ラリオノフの分類によれば、乾燥側では、粉体やアグリゲートへの移行過程のため、間ゲキ形状が非常に不規則な形となり、個別粒状構造と粒状薄膜構造の2つの特徴が観察される。最適含水比では間ゲキの輪郭が明瞭となり、一体結合構造をとっている。さらに濡潤側になると、含水量が増すため一体結合構造は分離し、大きは三日月状の間ゲキが見られる。

4. 考察

水分吸着実験と水銀侵入試験結果より、締固め過程中における間ゲキ径の性状は、以下のように考えられる。乾燥側では、水のメニスカスによって抱束された土粒子が、締固められ、しづりて、土塊としての密度を高めていくため、比表面積は順次増大し、間ゲキ量は減少していく。そして、間ゲキ径の分布は初期段階で数 $10\text{ }\mu\text{m}$ の粗大な間ゲキがつぶされた後、密度が増すにつれ一様に間ゲキの小さな方へ移行する特徴を示している。最適含水比では、比表面積は最大となり、水膜厚さ、間ゲキ量はほぼ最小値となる。ところが間ゲキ半径の分布は、乾燥側と比較して、 $0.1\text{ }\mu\text{m}$ から $20\text{ }\mu\text{m}$ の中程度の間ゲキが消失し、粗大な間ゲキと超ミクロな間ゲキの両極端は分布状態にはっていない。これは、土粒子が、この点で、アグリゲートを形成し、間ゲキがアグリゲート内向ゲキヒアグリゲート向外ゲキに分離するものと考えられる。濡潤側では、最適含水比によりわずかに含水比が増した地盤で、平均水膜厚さが急激に増加している。またこの地盤では間ゲキ半径の分布を見ると超ミクロなアグリゲート内向ゲキが大部分をしめている。この間ゲキでは、間ゲキの内壁が非常に接近しているため通達性が高く、間ゲキに入れた水分子は、入口付近で抱束され液化する。したがって単分子形成する蒸気圧下では、十分に全間ゲキの内壁に吸着できないため、比表面積が小さく測定され、液化して抱束水の量だけ実際より多く測定してと考えられる。このことは、透水係数が最小小となる原因に、動きにくいため、水の層厚が厚いことを裏づけるものである。さらに、濡潤側になると、比表面積は最大値よりわずかに低い値まで回復して後、順次減少していく。そして間ゲキ径の分布は、粗大な間ゲキが増加し、超ミクロな間ゲキが減少する傾向を示している。ここで興味あるのは、乾燥密度が下がっても、 $0.1\text{ }\mu\text{m}$ から $10\text{ }\mu\text{m}$ の中程度の間ゲキが再び現われてこないことがある。この土の場合、締固め過程中における土の構造は、単純に間ゲキが減少し、再び増加するのではなく、乾燥側の粉体状態から濡潤側のアグリゲート構造をもつ土へと極端に変化するものであることが明らかにこれまで。

5. 参考文献

- 1) 正田・佐々木・青山(1974), 土の工学的性質と体積変化について, 第29回土木学会年次学術講演会概要集, P384~P385.
- 2) アーチー・ラリオノフ・松尾新一郎(1973) 土の構造, 山海堂, P282~P283

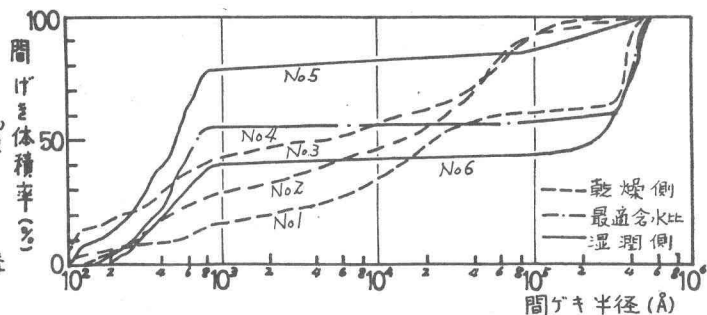


図-4 間ゲキ半径加積曲線

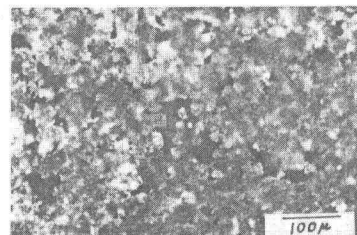


写真-1 乾燥側 (No. 1)

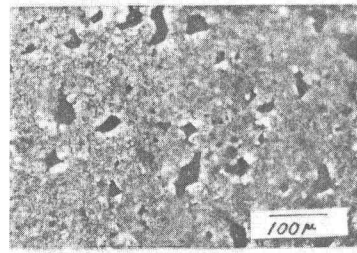


写真-2 最適含水比 (No. 4)

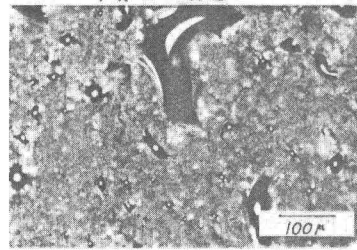


写真-3 濡潤側 (No. 6)